

## 2 Барьера и аффинная дифференциальная геометрия

Определение выпуклости множеств и функций основано на возможности построить интервал  $[x, y] = \{\lambda x + (1 - \lambda)y \mid \lambda \in [0, 1]\}$ , соединяющий точки  $x, y$ . Понятия интервала и выпуклых комбинаций точек инвариантны не только относительно линейных автоморфизмов лежащего в основе вещественного векторного пространства, но и относительно параллельных переносов в этом пространстве, которые не сохраняют положение нулевого вектора. Поэтому для изучения общей задачи выпуклой оптимизации нам достаточно работать со структурой  $n$ -мерного вещественного *аффинного* пространства  $\mathbb{A}^n$ . По сути это  $n$ -мерное вещественное векторное пространство, в котором "забыто" положение нуля.

**Определение 2.1.** Пусть  $V$  – вещественное векторное пространство. Аффинным пространством, *ассоциированным с векторным пространством  $V$* , называют множество  $A$  вместе с отображением  $+ : A \times V \rightarrow A$  таким, что

- $x + 0 = x$  для всех  $x \in A$ ,
- $(x + u) + v = x + (u + v)$  для всех  $x \in A, u, v \in V$ ,
- $v \mapsto x + v$  является биекцией между  $V$  и  $A$  для всех  $x \in A$ .

Группа симметрий  $\text{Aff}(n, \mathbb{R})$  аффинного пространства  $\mathbb{A}^n$  генерируется невырожденными линейными преобразованиями и параллельными переносами, т.е. состоит из всех невырожденных аффинных преобразований.

Предметом аффинной дифференциальной геометрии являются свойства погруженных в аффинное пространство многообразий, инвариантные относительно действия группы симметрий  $\text{Aff}(n, \mathbb{R})$ . Нас будет интересовать только самый разработанный случай, а именно, гиперповерхностей размерности  $n$ , вложенных в аффинное пространство размерности  $n + 1$ . В качестве этих гиперповерхностей будут выступать поверхности уровня барьеров, встречающихся в методах внутренних точек.

В конической оптимизации вершина конуса, определенного конической задачей, является выделенной точкой лежащего в основе аффинного пространства. Структуры, определенные на гиперповерхности с учетом выделенной точки, изучаются *центро-аффинной* геометрией. Эта ветвь аффинной дифференциальной геометрии является наиболее подходящей геометрической теорией для изучения логарифмично однородных барьеров на выпуклых конусах, и на этой лекции мы будем рассматривать преимущественно ее.

Хорошим введением в аффинную дифференциальную геометрию может служить книга Номицу и Сасаки [5].

Прежде чем перейти к собственно аффинной дифференциальной геометрии мы представим понятия тензора и связности.

### 2.1 Тензоры

В этом разделе мы дадим краткое введение в тензорное исчисление. В физической литературе тензоры на гладком многообразии  $M$  часто вводятся как поля (гипер-)матриц чисел, которые преобразуются определенным образом при заменах координат. В математике тензоры определяются как мультилинейные функции на касательном и кокасательном расслоении над многообразием, что делает их более осмысленными с интуитивной точки зрения.

Самыми простыми тензорами являются скаляры, или вещественные функции на  $M$ . Они имеют порядок  $(0, 0)$ .

Тензор порядка  $(1, 0)$  – это векторное поле, или сечение касательного расслоения над  $M$ . Каждой точке  $x$  на  $M$  оно сопоставляет элемент касательного пространства  $T_x M$ , или касательный вектор в этой точке. Если на многообразии  $M$  (или на некоторой карте в  $M$ ) задана система координат, то компоненты векторного поля  $X$  задаются функциями  $X^i$  с верхними индексами, пробегающими значения  $1, \dots, n$ , где  $n$  – размерность  $M$ .

Двойственное к касательному пространству  $T_x M$  называется *кокасательным* пространством  $T_x^* M$ . Элементами его являются линейные функционалы на касательном пространстве, или *ковекторы*. Совокупность ковекторов во всех точках многообразия образует *кокасательное расслоение* над  $M$ . Тензорами

порядка  $(0, 1)$  являются сечения кокасательного расслоения, сопоставляющие каждой точке  $M$  ковектор в этой точке. Другими словами, тензоры порядка  $(0, 1)$  являются дифференциальными 1-формами. В каждой точке  $M$  они определяют линейный функционал на касательном пространстве в этой точке. В координатном представлении компоненты формы  $\omega$  задаются функциями  $\omega_i$  с нижними индексами.

При замене координатных функций  $x = (x^1, \dots, x^n)$  на  $y = (y^1, \dots, y^n)$  компоненты векторного и ковекторного поля преобразуются по формулам

$$X^i \mapsto X^j \frac{\partial y^i}{\partial x^j}, \quad \omega_i \mapsto \omega_j \frac{\partial x^j}{\partial y^i}.$$

Дифференциальную форму  $\omega$  можно *свернуть* с векторным полем  $X$ , вычислив в каждой точке  $M$  значение соответствующего линейного функционала на соответствующем касательном векторе. В результате получится скалярная функция  $f$ , задающаяся в координатном представлении суммой  $\sum_{i=1}^n \omega_i X^i$ . Для удобства записи знак суммы по повторяющимся нижним и верхним индексам обычно опускается, т.е. пишется просто  $f = \omega_i X^i$ .

Тензор порядка  $(k, l)$  сопоставляет каждой точке  $x \in M$  мультилинейную форму на произведении  $(T_x M)^l \times (T_x^* M)^k$  касательных и кокасательных пространств в точке  $x$ . Тензор порядка  $(1, 0)$ , в частности, линейный функционал на ковекторах, а тензор порядка  $(0, 1)$  – линейный функционал на касательных векторах. Компоненты тензора  $T$  порядка  $(k, l)$  задаются функциями  $T^{j_1 \dots j_k}_{i_1 \dots i_l}$  с  $l$  нижними и  $k$  верхними индексами. Значение тензора  $T$  на  $l$  векторных полях  $X, \dots, Z$  и  $k$  формах  $\omega, \dots, v$  задаются суммой

$$T^{j_1 \dots j_k}_{i_1 \dots i_l} X^{i_1} \dots Z^{i_l} \omega_{j_1} \dots v_{j_k}.$$

Напоминаем, что знак суммы по повторяющимся индексам  $i_1, \dots, i_l, j_1, \dots, j_k$  опущен. Нижние индексы называются *ковариантными*, верхние – *контравариантными*.

При замене координат  $x = (x^1, \dots, x^n) \mapsto y = (y^1, \dots, y^n)$  контравариантные индексы преобразуются умножением на матрицу Якоби  $\frac{\partial y}{\partial x}$ , ковариантные индексы преобразуются умножением на обратную матрицу  $\frac{\partial x}{\partial y}$ .

Сворачивая нижние индексы одного тензора с верхними индексами другого, можно строить новые тензоры. Например, сворачивая тензор  $T$  порядка  $(2, 0)$  с тензором  $S$  порядка  $(1, 2)$ , получаем компоненты  $R_d^{bc} = T^{ab} S_{ad}^c$  тензора  $R$  порядка  $(2, 1)$ .

Метрика на (псевдо-)римановом многообразии задается симметрическим тензором  $g$  порядка  $(0, 2)$ . Его значение  $g_{ab} X^a Y^b$  на векторных полях  $X, Y$  задает скалярное произведение этих полей.

Компоненты метрики можно интерпретировать как элементы симметрической матрицы. Если в каждой точке (псевдо-)риманового многообразия взять обратную матрицу, то мы получим тензор порядка  $(2, 0)$ .

Сверткой с метрикой или с ее обратной можно понижать или повышать индексы у других тензоров.

Часто встречающимся тензором порядка  $(0, 1)$  является градиент  $\nabla f$  скалярной функции  $f$  на многообразии  $M$ . Его компоненты определяются частными производными  $f_{,i} = \frac{\partial f}{\partial x^i}$ . Свертка градиента с векторным полем  $X$  дает производную  $f$  по направлению  $X$ .

**Упражнение 2.1.** Показать, что производные скалярной функции  $f$  более высокого порядка не являются тензорами.

Ниже мы увидим, что прибавлением поправок к частным производным можно определить *ковариантную* производную, которая будет уже настоящим тензором. Однако, способ ввести эти поправки не единственный.

## 2.2 Связность

В пространстве  $\mathbb{A}^n$  не существует *канонической* евклидовой метрики. Фиксацией евклидовой метрики мы сужаем аффинную группу симметрий пространства  $\mathbb{A}^n$  и получаем группу вращений и параллельных переносов, что неестественно и нежелательно при изучении аффинно-инвариантных методов. Однако, любой выбор евклидовой метрики в  $\mathbb{A}^n$  приводит к одному и тому же множеству *геодезических*, а именно, прямых, пробегаемых с постоянной скоростью. Это связано с тем, что параллельный перенос касательных векторов, определяющий эволюцию геодезических, является *аффинным* инвариантом, т.е. остается неизменным при действии аффинной группы симметрий.

Параллельный перенос эквивалентен понятию *аффинной связности*. Аффинная связность  $\nabla$  на произвольном гладком многообразии  $M$  сопоставляет паре гладких векторных полей  $X, Y$  на  $M$  третье векторное поле, обозначающееся через  $\nabla_X Y$ . Оно интерпретируется как *ковариантная производная* поля  $Y$  по направлению поля  $X$ . Если  $\nabla_X Y = 0$  вдоль некоторой кривой  $\gamma(t)$  на  $M$ , то вектора  $Y(\sigma(t))$  являются результатом параллельного переноса вектора  $Y(\sigma(t_0))$  из точки  $\sigma(t_0)$  в точку  $\sigma(t)$  вдоль кривой  $\sigma$ .

Чтобы быть аффинной связностью, отображение  $(X, Y) \mapsto \nabla_X Y$  должно удовлетворять некоторым аксиомам. Оно билинейно, для любой гладкой скалярной функции  $f$  на  $M$  имеет место соотношение  $\nabla_f X = f \nabla_X Y$ , и оно является дифференцированием, т.е. для любой гладкой скалярной функции  $f$  также имеет место соотношение  $\nabla_X(fY) = f'[X] \cdot Y + f \nabla_X Y$ . Из этих аксиом следует, что разница двух связностей  $\nabla, \tilde{\nabla}$  является тензором порядка  $(1,2)$ , т.е.  $\nabla_X Y - \tilde{\nabla}_X Y$  есть векторное поле, значение которого в точке  $x \in M$  есть билинейная функция от значений полей  $X, Y$  в точке  $x$ .

Так как множество тензоров данного типа на  $M$  является векторным пространством, множество всех связностей на  $M$  образует аффинное пространство. В частности, аффинные комбинации связностей снова являются связностями.

В координатном представлении аффинная связность задается *символами Христоффеля*  $\Gamma_{ab}^c = \Gamma_{ba}^c$ , симметрическими по двум нижним индексам, однако сама она *не является тензором*. При замене координат  $x \mapsto y$  символы Христоффеля преобразуются по правилу

$$\Gamma_{\alpha\beta}^\gamma \mapsto \frac{\partial x^p}{\partial y^\alpha} \frac{\partial x^q}{\partial y^\beta} \Gamma_{pq}^r \frac{\partial y^\gamma}{\partial x^r} + \frac{\partial y^\gamma}{\partial x^m} \frac{\partial^2 x^m}{\partial y^\alpha \partial y^\beta}.$$

Для данных векторных полей  $X, Y$  поле  $\nabla_X Y$  задается формулой

$$(\nabla_X Y)^a = X^b Y_{,b}^a + \Gamma_{bc}^a X^b Y^c.$$

Второй член является поправкой к производной поля  $Y$  по направлению поля  $X$ .

Оператор  $\nabla_X$  *ковариантного дифференцирования* по направлению  $X$  применим также к другим типам тензорных полей. На скалярных функциях он определяется через производную по направлению,

$$\nabla_X f = f_{,i} X^i.$$

Дифференцирование других типов тензорных полей определяются правилом Лейбница. Например, производную  $\nabla_X \omega$  дифференциальной формы  $\omega$  (тензора порядка  $(0,1)$ ) можно получить из соотношения

$$\nabla_X(\langle \omega, Y \rangle) = \langle \nabla_X \omega, Y \rangle + \langle \omega, \nabla_X Y \rangle.$$

Здесь  $\langle \omega, Y \rangle$  обозначает свертку  $\omega(Y) = \omega_i Y^i$ , являющуюся скаляром.

**Упражнение 2.2.** Проверить, что  $\nabla_X \omega$  задается формулой

$$(\nabla_X \omega)_i = \left( \omega_{i,k} - \Gamma_{ik}^j \omega_j \right) X^k.$$

Для тензора общего вида имеем

$$\begin{aligned} (\nabla_X T)_{a\dots c}^{b\dots d} &= (T_{a\dots c,k}^{b\dots d} - \Gamma_{ak}^l T_{l\dots c}^{b\dots d} - \dots - \Gamma_{ck}^l T_{a\dots l}^{b\dots d} + \Gamma_{lk}^b T_{a\dots l}^{l\dots d} + \dots + \Gamma_{lk}^d T_{a\dots l}^{b\dots l}) X^k \\ &= T_{a\dots c;k}^{b\dots d} X^k. \end{aligned}$$

Определенные таким образом величины  $T_{a\dots c;k}^{b\dots d}$  являются компонентами тензора, обозначаемого через  $\nabla T$  и называемого *ковариантной производной* тензора  $T$ . Если  $T$  имеет порядок  $(k, l)$ , то  $\nabla T$  имеет порядок  $(k, l+1)$ . В частности, для скалярной функции  $f$  производная  $\nabla f$  – просто градиент  $f$ , не зависящий от связности  $\nabla$ . Если тензор  $\nabla T$  тождественно равен нулю, то тензор  $T$  называется *параллельным* по отношению к связности  $\nabla$ .

Если на многообразии  $M$  задана метрика  $g_{ab}$ , то на нем можно определить *связность Леви-Чивиты*, задаваемую символами Христоффеля

$$\Gamma_{ij}^k = \frac{1}{2} g^{kl} (g_{il,j} + g_{jl,i} - g_{ij,l})$$

и обозначаемую через  $\hat{\nabla}$ . Сама метрика параллельна по отношению к  $\hat{\nabla}$ ,  $\hat{\nabla}g = 0$ . Поэтому ковариантное дифференцирование по связности Леви-Чивита коммутирует с понижением и поднятием индексов.

На аффинном пространстве  $\mathbb{A}^n$  или векторном пространстве  $\mathbb{R}^n$  все евклидовы метрики имеют общую каноническую связность. Эта связность является *плоской*.

**Определение 2.2.** Аффинная связность  $\nabla$  называется *плоской* если соответствующие ковариантные производные коммутируют.

Связность  $\nabla$  плоская тогда и только тогда, когда в окрестности любой точки существует система координат, в которой  $\Gamma_{jk}^i \equiv 0$ .

В частности, в аффинных координатах на  $\mathbb{A}^n$  (или линейных координатах на  $\mathbb{R}^n$ ) символы Христоффеля канонической связности равны нулю. В дальнейшем мы будем обозначать эту связность символом  $D$ . Ковариантные производные по отношению к  $D$  просто совпадают с частными производными в линейных координатах.

### 2.3 Аффинная метрика и кубическая форма

Теперь мы в состоянии приступить к описанию основных объектов аффинной дифференциальной геометрии. Рассмотрим погружение  $f : M \rightarrow \mathbb{A}^{n+1}$   $n$ -мерного многообразия  $M$  в аффинное пространство размерности  $n + 1$ . Образ  $M$  (локально) является гиперповерхностью в  $\mathbb{A}^{n+1}$ .

**Определение 2.3.** Векторное поле  $\xi : M \rightarrow \mathbb{R}^{n+1}$  называется трансверсальным к  $f$ , если в каждой точке  $x \in M$  вектор  $\xi(x)$  трансверсален к  $df[T_x M]$ .

В этом случае в каждой точке  $x$  имеем разложение  $\mathbb{R}^{n+1}$  в прямую сумму  $df[T_x M] \oplus L_{\xi(x)}$ , где  $L_{\xi(x)} = \{t\xi(x) \mid t \in \mathbb{R}\}$  – линейная оболочка вектора  $\xi(x)$ .

**Определение 2.4.** Погружение  $f : M \rightarrow \mathbb{R}^{n+1}$  называется центро-аффинным, если поле  $\xi = f$  является трансверсальным к  $f$ . В этом случае  $\xi$  называется центро-аффинным трансверсальным полем.

В связи с барьерами нас будет интересовать только случай центро-аффинных вложений, т.е. отображение  $f$  инъективно и его образ можно идентифицировать с самим многообразием  $M$ . В дальнейшем мы будем рассматривать гиперповерхности в  $\mathbb{R}^{n+1}$ , оснащенные центро-аффинным трансверсальным полем  $\xi(x) = -x$ .

Пусть  $X, Y$  – касательные векторные поля на гиперповерхности  $M \subset \mathbb{A}^{n+1}$ , а  $\xi$  – трансверсальное поле. Разложим производную  $D_X Y$ , которая является векторным полем на  $M$  со значениями в  $\mathbb{R}^{n+1}$ , в соответствии с вышеупомянутым разложением  $\mathbb{R}^{n+1} = T_x M \oplus L_{\xi(x)}$ . Мы получим трансверсальную компоненту, пропорциональную полю  $\xi$ , и касательную компоненту, равную  $\nabla_X Y$  для некоторой аффинной связности  $\nabla$  на  $M$ ,

$$D_X Y = \nabla_X Y + h(X, Y)\xi, \quad X, Y, \nabla_X Y \in TM.$$

**Определение 2.5.** Связность  $\nabla$  называется аффинной связностью, коэффициент  $h$  называется аффинной фундаментальной формой, а ковариантная производная  $C = \nabla h$  называется кубической формой на  $M$ .

Нетрудно проверить, что  $h$  является симметричным тензором порядка  $(0,2)$  на  $M$ . Таким образом  $C$  является тензором порядка  $(0,3)$ .

**Определение 2.6.** Если аффинная фундаментальная форма невырождена, то она называется аффинной метрикой, а поверхность  $M$  называется невырожденной.

Более того, если гиперповерхность выпукла, то аффинная метрика знако-определенная. При этом метрика положительна, если поверхность искривлена в сторону  $-\xi$ , и отрицательна, если она искривлена в сторону  $\xi$  (см. Рис. 2.3).

В случае центро-аффинного вложения, когда  $M$  является гиперповерхностью в  $\mathbb{R}^{n+1}$  и  $\xi(x) = -x$ , можно утверждать следующее.

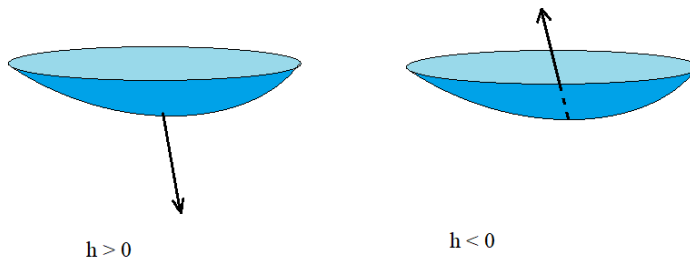


Рис. 1: Определение знака аффинной метрики

**Теорема 2.1.** Пусть  $M \subset \mathbb{R}^{n+1}$  — невырожденная гиперповерхность, оснащенная центро-аффинным трансверсальным полем. Тогда ее кубическая форма  $C$  является симметричной по всем трем индексам. Любая геодезическая связности  $\nabla$  целиком содержитя в двумерном линейном подпространстве  $\mathbb{R}^{n+1}$ , генерированным вектором  $\xi$  и касательным вектором  $\kappa$  геодезической. Объекты  $\nabla, h, C$  инвариантны по отношению к растяжениям  $M \mapsto \alpha M$ ,  $\alpha > 0$ .

Таким образом мы получили так называемую структуру Кодацци.

**Определение 2.7.** Пусть  $\nabla$  — аффинная связность, а  $g$  — метрика. Если  $\nabla g$  симметрична по всем индексам, то пара  $(\nabla, g)$  называется структурой Кодацци. Связность  $\bar{\nabla} = 2\hat{\nabla} - \nabla$  называется двойственной связностью, а пара  $(\bar{\nabla}, g)$  — двойственной структурой Кодацци.

Специальным случаем является гессианова структура.

**Определение 2.8.** Структура Кодацци  $(\nabla, g)$  с плоской связностью  $\nabla$  называется гессиановой структурой (Hessian structure).

Структуры Кодацци и гессиановы структуры описаны в книге [6].

Каждой гиперповерхности  $M \subset \mathbb{R}^{n+1}$ , оснащенной трансверсальным векторным полем  $\xi$ , можно со-поставить погружение  $M \rightarrow \mathbb{R}_{n+1}$  в двойственное пространство. Каждой точке  $x \in M$  поставим в соответствие точку  $p \in \mathbb{R}_{n+1}$  такую, что  $p$  ортогонально  $T_x M$ , и  $\langle p, \xi(x) \rangle = 1$ . Определенное таким образом отображение  $M \rightarrow \mathbb{R}_{n+1}$  называется конормальным.

Конормальное отображение является двойственностью на классе центро-аффинных вложений. Это означает, что если  $\xi(x) = -x$  и  $M$  является центро-аффинной поверхностью, то применив конормальное отображение дважды, мы получим исходное центро-аффинное вложение. Более того, индуцированная конормальным отображением аффинная фундаментальная форма на  $M$  совпадает с индуцированной исходным вложением формой, а индуцированная конормальным отображением связность совпадает с двойственной связностью  $\bar{\nabla}$ .

Центро-аффинные объекты позволяют изучать вложения  $n$ -мерных многообразий  $M$  в  $\mathbb{R}^{n+1}$ , не обращаясь к самому отображению вложения. Справедлив следующий результат.

**Теорема 2.2.** Пусть  $M$  — многообразие размерности  $n$ , на котором определена аффинная связность  $\nabla$  и симметрические тензоры  $h, C$  порядков  $(0,2)$  и  $(0,3)$ , соответственно. Если эти объекты генерированы центро-аффинным вложением  $f : M \rightarrow \mathbb{R}^{n+1}$ , то последнее восстанавливается либо из  $\nabla$ , либо из пары  $(h, C)$  с точностью до линейного автоморфизма пространства  $\mathbb{R}^{n+1}$ .

## 2.4 Барьеры и центро-аффинные вложения

Пусть  $K \subset \mathbb{R}^n$  — регулярный выпуклый конус, а  $F$  — логарифмично однородный самосогласованный барьер на  $K$ . Тогда поверхности уровня барьера переходят друг в друга под действием группы гомотетий, или растяжений пространства  $\mathbb{R}^n$  на постоянный множитель. В частности, каждый внутренний луч конуса пересекает каждую поверхность уровня  $F$  ровно в одной точке. Поэтому поверхности уровня  $F$  можно рассматривать как центро-аффинные вложения в  $\mathbb{R}^n$ . При этом все поверхности уровня изоморфны друг другу как центро-аффинные вложения.

Более того,  $F$  восстанавливается из уровня  $M$  и константы  $\nu$  с точностью до аддитивной константы. Поэтому объекты  $\nabla, h, \nu$  должны содержать всю необходимую методам внутренней точки информацию, а между барьером  $F$  и центро-аффинными объектами его поверхностей уровня должна существовать тесная связь. В этом разделе мы увидим, что на самом деле различные условия и объекты теории самосогласованных барьеров имеют аналог в центро-аффинной дифференциальной геометрии.

Основой этих связей является следующая теорема [7, 4].

**Теорема 2.3** (Tsui 1982; Loftin 2002). *Пусть  $K \subset \mathbb{R}^{n+1}$  – регулярный выпуклый конус, а  $F : K^\circ \rightarrow \mathbb{R}$  – локально строго выпуклая логарифмично однородная функция степени  $-1$ .*

*Тогда риманово многообразие, образованное внутренностью конуса  $K$ , оснащенное метрикой  $F''$ , распадается на прямое произведение одномерного радиального фактора и  $n$ -мерного трансверсального фактора. Подмногообразия, соответствующие радиальному фактору – внутренние лучи конуса  $K$ , а подмногообразия, соответствующие трансверсальному фактору – поверхности уровня функции  $F$ . Метрика на поверхностях уровня совпадает с центро-аффинной метрикой.*

На самом деле, теорема остается верной также в отсутствии условия выпуклости [3]. Из теоремы немедленно получаем следствие.

**Следствие 2.1.** *Пусть  $K \subset \mathbb{R}^n$  – регулярный выпуклый конус, а  $F : K^\circ \rightarrow \mathbb{R}$  – самосогласованный барьер с параметром  $\nu$ . Пусть  $M$  – поверхность уровня  $F$ , рассматриваемая как центро-аффинное вложение в  $\mathbb{R}^n$ . Тогда аффинная метрика  $h$  на  $M$  задается ограничением  $\nu^{-1}F''$  на  $M$ . Риманово многообразие, образованное внутренностью конуса  $K$ , оснащенное метрикой  $F''$ , распадается на прямое произведение одномерного радиального фактора и  $n$ -мерного трансверсального фактора.*

Однако, этим связи между барьером  $F$  и центро-аффинными объектами не ограничиваются. Имеем следующий результат.

**Теорема 2.4.** *Пусть  $M$  – поверхность уровня  $F$ , рассматриваемая как центро-аффинное вложение в  $\mathbb{R}^n$ . Тогда значение центро-аффинной метрики  $h$  и кубической формы  $C$  на касательном к  $M$  векторе и задаются формулами*

$$\begin{aligned} h[u, u] &= \nu^{-1}F''[u, u], \\ C[u, u, u] &= \nu^{-1}F'''[u, u, u]. \end{aligned}$$

*Образ конормального отображения является поверхностью уровня двойственного барьера  $F_*$ .*

Отсюда сразу можно вывести необходимое условие самосогласованности барьера  $F$  в терминах метрики  $h$  и кубической формы  $C$ , а именно неравенство  $|C[u, u, u]| \leq 2\sqrt{\nu}(h[u, u])^{3/2}$ . Однако, это условие не достаточно, поскольку тензоры  $h, C$  действуют только на векторах, касательных к  $M$ , а условие самосогласованности требует выполнение неравенства на всех касательных векторах. Верен следующий результат.

**Теорема 2.5.** *Пусть  $K \subset \mathbb{R}^n$  – регулярный выпуклый конус,  $n \geq 2$ , а  $F : K^\circ \rightarrow \mathbb{R}$  – локально строго выпуклая логарифмично однородная функция степени  $-\nu$ . Пусть  $M$  – поверхность уровня функции  $F$ , а  $h, C$  – аффинная метрика и кубическая форма на  $M$ , соответственно.*

*Функция  $F$  самосогласованная тогда и только тогда, когда*

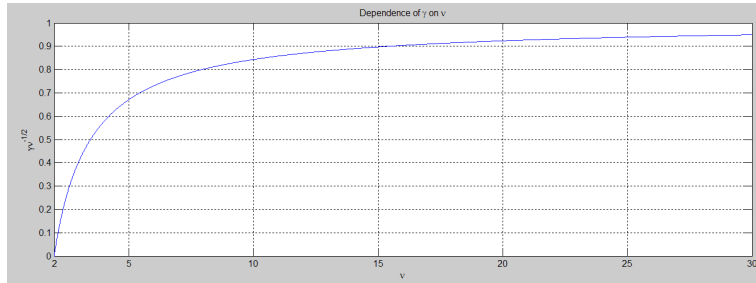
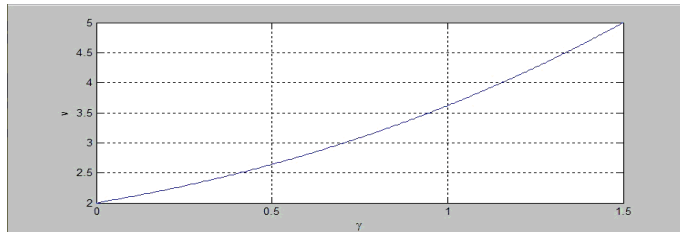
$$|C[u, u, u]| \leq 2\gamma(h[u, u])^{3/2}$$

*для всех векторов  $u$ , касательных к  $M$ , где  $\gamma = \frac{\nu-2}{\sqrt{\nu-1}}$ .*

Таким образом, множитель  $\sqrt{\nu}$  в приведенном выше необходимом условии заменяется на  $\gamma$  (см. Рис. 2.4.2.4).

Теперь мы в состоянии охарактеризовать те центро-аффинные вложения, которые являются поверхностями уровня самосогласованных барьеров.

**Теорема 2.6.** *Локально сильно выпуклая центро-аффинная гиперповерхность  $M \subset \mathbb{R}^n$  является поверхностью уровня самосогласованного барьера тогда и только тогда, когда*

Рис. 2: Зависимость  $\gamma$  от  $\nu$ Рис. 3: Зависимость  $\gamma$  от  $\nu$ 

- $M$  асимптотично границе своей конической оболочки,
- ее кубическая форма  $C$  равномерно ограничена ее аффинной метрикой  $h$ .

Параметр барьера равен  $\nu = \frac{4+\gamma^2}{2} + \frac{\gamma}{2}\sqrt{4+\gamma^2}$ , где  $2\gamma$  – верхняя граница  $C$ .

Таким образом, самосогласованность  $F$  эквивалентна ограниченности кубической формы  $C$ . Чем меньше  $C$ , тем меньше будет параметр барьера.

Ясно, что минимальное значение  $\gamma$  достигается при  $C \equiv 0$ . Этот случай соответствует значению  $\nu = 2$ .

**Следствие 2.2.** На конусах  $K \subset \mathbb{R}^n$ ,  $n \geq 2$ , не существует барьеров с параметром  $\nu < 2$ .

Следующая теорема характеризует соответствующие поверхности.

**Теорема 2.7** (Pick, Berwald). Пусть  $M$  – вложенная гиперповерхность с нулевой кубической формой. Тогда  $M$  является квадрикой.

**Следствие 2.3.** Пусть  $K \subset \mathbb{R}^n$  – регулярный выпуклый конус,  $n \geq 2$ , а  $F : K^\circ \rightarrow \mathbb{R}$  – барьер на  $F$  с параметром  $\nu$ . Тогда следующие условия эквивалентны.

- 1)  $\nu = 2$ .
- 2)  $K$  изоморфен конусу Лоренца  $L_n$ , а  $F(x) = -\log Q(x)$ , где  $Q$  – квадратичная форма с сигнатурой  $(+ - \dots -)$ , определяющая  $K$ .

Нетрудно проверить, что поверхности уровня  $F$  в этом случае изометричны гиперболическому пространству с постоянной кривизной.

Таким образом, конус Лоренца является самым простым конусом в конической оптимизации. Напомним, что в методе Ньютона на каждом шаге минимизируется квадратическая аппроксимация целевой функции. Однако, квадратический полином не может выступать в роли барьера на конусе. Эту роль должен играть гиперболический барьер. В следующем разделе мы последуем этой философии и построим соответствующую аппроксимацию, которая одновременно даст аппроксимацию самого конуса некоторым конусом Лоренца.

## 2.5 Аппроксимирующие конуса Лоренца

В предыдущей главе мы увидели, что для самосогласованного барьера на выпуклом множестве  $X$  эллипсоид Дикина вокруг каждой внутренней точки  $x \in X$  целиком принадлежит  $X$ . В этом разделе мы увидим, что для логарифмично однородного самосогласованного барьера на выпуклом конусе  $K$  можно доказать более сильное утверждение. А именно, для каждой внутренней точки  $x \in K$  мы построим конус Лоренца, содержащий эллипсоид Дикина вокруг  $x$  и целиком содержащийся в  $K$ .

Начнем с построения аппроксимирующего конуса Лоренца. Пусть  $K \subset \mathbb{R}^n$  – регулярный выпуклый конус,  $F : K^\circ \rightarrow \mathbb{R}$  – барьер на  $F$  с параметром  $\nu$ , а  $\hat{x} \in K^\circ$  – произвольная точка.

**Лемма 2.1.** *Существует единственный конус Лоренца  $L$  с соответствующим гиперболическим барьером  $F_L : L^\circ \rightarrow \mathbb{R}$  такой, что*

$$\nu F'_L(\hat{x}) = 2F'(\hat{x}), \quad \nu F''_L(\hat{x}) = 2F''(\hat{x})$$

**Упражнение 2.3.** *Доказать эту лемму и построить гиперболический барьер  $F_L$  в явном виде.*

Перейдем в систему координат на  $\mathbb{R}^n$ , в которой  $\hat{x} = (\hat{x}_0, \dots, \hat{x}_{n-1}) = (1, 0, \dots, 0)$  и

$$F_L(x) = -\log(x_0^2 - x_1^2 - \dots - x_{n-1}^2).$$

Тогда  $F'(\hat{x}) = (-\nu, 0, \dots, 0)$ ,  $F''(\hat{x}) = \nu I_n$  по построению  $F_L$ . Рассмотрим, какие значения  $F$  может принимать на аффинном подпространстве, задаваемом условием  $x_0 = 1$ . Введем на этом подпространстве координаты  $\tilde{x} = (x_1, \dots, x_{n-1})$ , так что  $x = (1, \tilde{x})$ . Рассмотрим луч, ведущий от точки  $\tilde{x} = 0$  по направлению вектора  $u$  с единичной нормой. Условие самосогласованности ограничивает третью производную  $F'''[u, u, u]$  функциями от  $F''[u, u]$  и  $F'[u]$ . Введем обозначение  $f = \nu^{-1}F$ .

**Лемма 2.2.** *Третья производная функции  $f(\tilde{x})$  удовлетворяет неравенству*

$$|f'''[u, u, u] - 6f''[u, u]f'[u] + 4(f'[u])^3| \leq 2\gamma(f''[u, u] - (f'[u])^2)^{3/2}.$$

Из этого получаем дифференциальное неравенство на функцию  $\xi(t) = \dot{\varphi}(t)$ , где  $\varphi(t) = f(tu)$ , а именно

$$|\ddot{\xi} - 6\dot{\xi}\xi + 4\xi^3| \leq 2\gamma(\dot{\xi} - \xi^2)^{3/2}.$$

С учетом начальных условий  $\xi(0) = 0$ ,  $\dot{\xi}(0) = 1$  при  $t \geq 0$  получаем неравенства

$$\frac{\nu-1}{\nu} \frac{1}{\sqrt{\nu-1-t}} - \frac{\sqrt{\nu-1}}{\nu} \frac{1}{1+\sqrt{\nu-1}t} \leq \xi(t) \leq -\frac{\nu-1}{\nu} \frac{1}{\sqrt{\nu-1+t}} + \frac{\sqrt{\nu-1}}{\nu} \frac{1}{1-\sqrt{\nu-1}t}.$$

Полагая для удобства  $f(0) = \varphi(0) = -\frac{\nu-1}{2\nu} \log(\nu-1)$ , получаем далее оценки

$$-\frac{\nu-1}{\nu} \log(\sqrt{\nu-1} - \|\tilde{x}\|) - \frac{1}{\nu} \log(1 + \sqrt{\nu-1} \|\tilde{x}\|) \leq f(\tilde{x}) \leq -\frac{\nu-1}{\nu} \log(\sqrt{\nu-1} + \|\tilde{x}\|) - \frac{1}{\nu} \log(1 - \sqrt{\nu-1} \|\tilde{x}\|).$$

В частности,  $f$  в любом случае определено для всех  $\tilde{x}$  с нормой меньше, чем  $\frac{1}{\sqrt{\nu-1}}$ , и никогда не определено для всех  $\tilde{x}$  с нормой, превышающей  $\sqrt{\nu-1}$ . Эти граничные значения определяют внутреннюю и внешнюю аппроксимацию исходного конуса  $K$  конусами Лоренца.

Аппроксимации точные, и поэтому внутренний аппроксимирующий конус Лоренца должен содержать эллипсоид Дикина с центром в  $\hat{x}$ .

## 2.6 Аффинные сферы и канонический барьер

В предыдущих разделах мы рассматривали центро-аффинные вложения, в которых в роли трансверсального векторного поля выступает само вложение. С точки аффинной дифференциальной геометрии это не самый естественный выбор, поскольку он зависит от положения начала координат. Существует другой выбор трансверсального поля, так называемая *аффинная нормаль*, определенная с точностью до умножения на глобальную постоянную, которая фиксируется выбором меры объема в объемлющем пространстве. Погружения, оснащенные аффинной нормалью в качестве трансверсального поля, называются *погружениями Блашке* (Blaschke immersions).

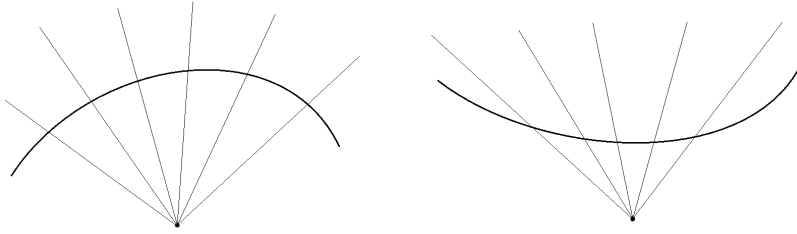


Рис. 4: Аффинная сфера эллиптического (сл.) и гиперболического (спр.) типа

(Собственной) *аффинной сферой* называется погружение Блашке, в котором прямые, проведенные через каждую точку по направлению аффинной нормали, проходят все через одну общую точку, так называемый *центр* аффинной сферы. Если поместить начало координат в центр аффинной сферы, то аффинные нормали окажутся пропорциональны центро-аффинному векторному полю. Можно показать, что при этом множитель является постоянным. Таким образом, аффинные сферы являются в некотором смысле пересечением центро-аффинных погружений и погружений Блашке.

Возникает вопрос, можно ли исходя из центро-аффинных объектов определить, не является ли центро-аффинное погружение аффинной сферой. Ответ дает следующая лемма.

**Лемма 2.3.** *Центро-аффинная гиперповерхность является аффинной сферой тогда и только тогда, когда  $C_{\alpha\beta\gamma}h^{\beta\gamma} = 0$ , т.е. след ее кубической формы равен нулю.*

Аффинные сферы могут быть как выпуклыми, так и невыпуклыми. Выпуклые собственные аффинные сферы делятся на сферы эллиптического и гиперболического типов. В первом случае погружение искривляется в сторону центра, во втором в противоположную сторону (см. Рис. 4).

Важной задачей в аффинной дифференциальной геометрии является классификация *полных* аффинных сфер, т.е. таких, в которых любая геодезическая продолжается бесконечно. Полные эллиптические аффинные сферы ограничиваются эллипсоидами. Классификация полных аффинных сфер гиперболического типа тесно связана с регулярными выпуклыми конусами и поэтому представляет особый интерес для конической оптимизации. Она описывается следующей теоремой.

**Теорема 2.8** (Теорема Калаби). [Fefferman 76, Cheng-Yau 86, Li 90, и др.] Пусть  $K \subset \mathbb{R}^n$  – регулярный выпуклый конус. Тогда существует единственное расслоение внутренности  $K^\circ$  гомотетическим семейством полных аффинных сфер гиперболического типа, которые асимптотические к границе  $\partial K$ .

Любая полная аффинная сфера гиперболического типа асимптотическая к границе  $\partial K$  некоторого регулярного выпуклого конуса  $K$ .

Логарифмично однородная функция  $F$  степени  $n$ , поверхности уровня которой задаются этим расслоением, можно с точностью до аддитивной постоянной охарактеризовать как выпуклое решение *уравнения Монжса-Ампера*

$$\log \det F'' = 2F$$

с граничным условием

$$\lim_{x \rightarrow \partial K} F(x) = +\infty.$$

Существование и единственность расслоения делают эту функцию  $F$  в каком-то смысле канонической для данного конуса  $K$ . В этой связи представляют интерес вопрос о том, не является ли  $F$  барьером для  $K$ , т.е. удовлетворяет ли она условию самосогласованности. Ответ на этот вопрос утвердительный [2, 1].

**Теорема 2.9.** Пусть  $K \subset \mathbb{R}^n$  – регулярный выпуклый конус. Тогда выпуклое решение уравнения Монжса-Ампера  $\log \det F'' = 2F$  с граничным условием  $F|_{\partial K} = +\infty$  является логарифмично однородным самосогласованным барьером на  $K$  с параметром  $\nu = n$ . Этот барьер называется каноническим.

## Список литературы

- [1] Daniel J. Fox. A Schwarz lemma for Kähler affine metrics and the canonical potential of a proper convex cone. *Ann. Mat. Pur. Appl.*, 194(1):1–42, 2015.
- [2] Roland Hildebrand. Canonical barriers on convex cones. *Math. Oper. Res.*, 39(3):841–850, 2014.
- [3] Roland Hildebrand. Centro-affine hypersurface immersions with parallel cubic form. *Contributions to Algebra and Geometry*, 56(2):593–640, 2015.
- [4] John C. Loftin. Riemannian metrics on locally projectively flat manifolds. *Amer. J. Math.*, 124(3):595–609, 2002.
- [5] Katsumi Nomizu and Takeshi Sasaki. *Affine Differential Geometry: Geometry of Affine Immersions*, volume 111 of *Cambridge Tracts in Mathematics*. Cambridge University Press, Cambridge, 1994.
- [6] Hirohiko Shima. *The Geometry of Hessian structures*. World Scientific, Hackensack, New Jersey, 2007.
- [7] Tadashi Tsuji. On homogeneous convex cones of non-positive curvature. *Tokyo J. Math.*, 5(2):405–417, 1982.